

**С.С. ДОБРОТВОРСКИЙ, С.С. ГНУЧИХ, Л.Г. ДОБРОВОЛЬСКАЯ**

## МОДЕЛИРОВАНИЕ ПРОЦЕССА УДАРНОГО ДЕФОРМИРОВАНИЯ ПЛАСТИН ПОЛУСФЕРИЧЕСКИМ УДАРНИКОМ

Проведено комп'ютерне моделювання процесу ударного деформування пластин, що складаються з матеріалів різної товщини, полусферичним ударником. В зв'язку з підвищенням швидкостей обробки деталей машин, захисні конструкції в станкообладнанні вимагаються підвищувати ударну стійкість, при одночасному зниженні матеріалоемності. Розглядалася задача контактного динамічного деформування пластини при великих швидкостях протекання процесу. Для високоскоростного процесу деформування враховувалася залежність фізико-механіческих властивостей матеріалу від рівня швидкостей деформації. Комп'ютерне моделювання процесу проводилося спеціалізованим програмним комплексом ANSYS в модулі "Explicit Dynamics" заснованим на застосуванні метода конечних елементів у умовах високих швидкостей. Аналіз отриманих даних показав перевагу застосування мношарових пластин з керамічним шаром.

**Ключові слова:** математичне моделювання, метод конечних елементів, мношарові пластини.

**Введение.** В современном машиностроении при повышении скоростей обработки, возникает необходимость повышения прочности и ударной стойкости средств защиты, при одновременном снижении материалаомкости. Внимание исследователей привлекает проблема, моделирование процесса взаимодействия деформируемых, многослойных пластин конечной толщины с деформируемым ударником. Такие пластины могут применяться в деталях машин, средствах защиты. Кombинации таких пластин из различных по свойствам материалов мало изучены и могут дать неожиданные результаты. Исследование сочетаний этих материалов на опытных образцах дорогое и не-продуктивное занятие, поэтому в противовес ему предлагается использование современных инженерных программ.

**Анализ последних исследований и литературы.** Из обзора работ зарубежных и отечественных авторов установлено[1], что мировые тенденции повышения производительности и качества инженерных работ состоят в уходе от опытного, ручного труда к программному моделированию систем и процессов протекающих в них.

Разработка имитационного подхода к моделированию процесса ударного деформирования пластин дает возможность оптимизировать и улучшить характеристики проектируемой детали. Несмотря на большое внимание к данной проблеме и имеющиеся в литературе работы в этой области как экспериментального, так и теоретического плана, проблема далека от полного решения.

**Целью** данной статьи является изучение методов и результатов математического моделирования процесса ударного деформирования пластин конечной толщины полусферическим ударником, исследование закономерностей разрушения комбинированных слоистых преград при высокоскоростном ударе деформируемыми ударниками. Нахождение оптимального сочетания материала и толщины этих пластин.

**Постановка проблемы.** В настоящей работе мы рассматривали задачи моделирования процессов высокоскоростного деформирования тонкостенной изотропной пластины и пакетов пластин, которые имеют

однородную структуру, под действием ударного нагружения ударником с полусферической формой рабочей части. Для определения деформированного состояния таких пластин решается динамическая вязкоупругая контактная задача с граничными и начальными условиями. При таком воздействии мы учитывали изменение прочностных характеристик материала, наличие больших пластических деформаций, нагрев. При исследовании учитывали конструктивные особенности пластины, форму, геометрию, величину, скорость и материал ударника. Для этого было использовано компьютерное проектирование и моделирование образов исследуемых объектов на базе вычислительных логических алгоритмов САЕ-модуля ANSYR.

**Материалы исследований.** Движение сплошной среды описываем используя: закон сохранения массы, закон сохранения импульса, закон сохранения энергии, модель материала, начальных условий, граничных условий.

Математическая модель движения сплошной среды, описываемая с использованием перечисленных выше уравнений, численно решается в ANSYS, путем использования явного интегрирования по времени а также различных методик решения.

Для Лагранжевых формулировок плотность в любой момент может быть определена из текущего объема зоны и ее первоначальной массы.

Частные дифференциальные уравнения, которые выражают закон сохранения импульса связывают ускорение и тензор напряжений  $\sigma_{ij}$ [3]:

$$\begin{aligned} p\ddot{x} &= b_x + \frac{\partial \sigma_{xx}}{\partial x} + \frac{\partial \sigma_{xy}}{\partial y} + \frac{\partial \sigma_{xz}}{\partial z}; \\ p\ddot{y} &= b_y + \frac{\partial \sigma_{yx}}{\partial x} + \frac{\partial \sigma_{yy}}{\partial y} + \frac{\partial \sigma_{yz}}{\partial z}; \\ p\ddot{z} &= b_z + \frac{\partial \sigma_{zx}}{\partial x} + \frac{\partial \sigma_{zy}}{\partial y} + \frac{\partial \sigma_{zz}}{\partial z}. \end{aligned} \quad (1)$$

Сохранение энергии выражается через:

$$\dot{e} = \frac{1}{\rho} (\sigma_{xx}\dot{\epsilon}_{xx} + \sigma_{yy}\dot{\epsilon}_{yy} + \sigma_{zz}\dot{\epsilon}_{zz} + 2\sigma_{xy}\dot{\epsilon}_{xy} + 2\sigma_{yz}\dot{\epsilon}_{yz} + 2\sigma_{zx}\dot{\epsilon}_{zx}). \quad (2)$$

Эти уравнения решались в явном виде для каждого элемента модели, основанной на входных значений в конце предыдущего шага по времени. Для обеспечения стабильности и точности решения использовалось малое время приращения. В корректном моделировании, масса, импульс и энергия сохранялись.

При интегрировании применяли метод центральных разностей. Ускорения оцениваются для т:

$$\{a_t\} = [M]^{-1}([F_t^{ext}] - [F_t^{int}]), \quad (3)$$

где  $\{a_t\}$  – вектор ускорения;

$[M]$  – матрица масс,

$\{F_t^{ext}\}$  вектор приложенных внешних сил,

$\{F_t^{int}\}$  вектор внутренних сил:

$$F^{int} = \sum \left( \int_{\Omega} B^T \sigma_n d\Omega + F^{hg} \right) + F^{contact}, \quad (4)$$

где  $F^{hg}$  – сила hourglass-сопротивления,  $F^{contact}$  – сила контакта.

Затем вычислялись скорости и перемещения:

$$\begin{aligned} \{v_{t+\Delta t/2}\} &= \{v_{t-\Delta t/2}\} + \{a_t\} \Delta t_i; \\ \{u_{t+\Delta t}\} &= \{u_t\} + \{v_{t+\Delta t/2}\} \Delta t_{i+\Delta t/2}; \\ \Delta t_{t+\Delta t/2} &= 0.5(\Delta t_t + \Delta t_{t+\Delta t}); \\ \Delta t_{t-\Delta t/2} &= 0.5(\Delta t_t - \Delta t_{t+\Delta t}). \end{aligned} \quad (5)$$

Геометрия обновлялась добавлением приращений перемещений к исходной геометрии  $\{x_0\}$ :

$$\{x_{t+\Delta t}\} = \{x_0\} + \{u_{t+\Delta t}\}. \quad (6)$$

Для упрощения обращения матриц используем диагональную матрицу масс. Уравнения становятся несвязанными и могут решаться напрямую (явно).

Для исследования деформирования хрупких материалов мы использовали модель Johnson-Holmquist [2]. В этой модели предел прочности хрупкого материала в процессе его разрушения меняется от предела прочности исходного неповрежденного материала  $\sigma_0$  до предела прочности полностью разрушенного (измельченного) материала  $\sigma_p$ . Соответствующее уравнение имеет вид:

$$\sigma = \sigma_0 - D(\sigma_0 - \sigma_p), \quad (7)$$

где  $D$  – поврежденность ( $0 \leq D \leq 1$ ).

Пределы прочности неповрежденного и полностью разрушенного материалов зависят от текущих давления и скорости деформации:

$$\begin{aligned} \sigma_0 &= A(P + T_p)^N \left( 1 + C \ln \frac{\dot{\epsilon}}{\dot{\epsilon}_0} \right); \\ \sigma_p &= B P^M \left( 1 + C \ln \frac{\dot{\epsilon}}{\dot{\epsilon}_0} \right). \end{aligned} \quad (8)$$

где  $A, N, C, B, M$  – постоянные,  $\dot{\epsilon}_0 = 1,0 \text{ с}^{-1}$ .

Численные значения, постоянных коэффициентов данной модели, для корундовой, карбидокремневой керамики и натрийсиликатного стекла [8] приведены в таблице 1.

Эффективный предел прочности разрушенной керамики  $\sigma_p$  может быть описан эмпирическим соотношением [3]:

$$\sigma_p = 0,2 \sigma_{kd} \left\{ 1 - \exp \left[ \frac{-\lambda \sigma_b}{0,2 \sigma_{kd}} \left( \frac{\delta_n}{h} \right)^2 \right] \right\}, \quad (9)$$

где  $\sigma_{kd}$  и  $\sigma_b$  – пределы прочности неповрежденной керамики и материала подложки соответственно;  $\delta_n$  – толщина подложки;  $\lambda \approx 1$  – подгоночный коэффициент;  $h$  – текущая толщина керамического слоя между проникающим ударником и границей раздела с подложкой.

Таблица 1 – Численные значения постоянных модели Джонсона-Холмквиста.

Постоянные	Al <sub>2</sub> O <sub>3</sub>	SiC	B <sub>4</sub> C
p <sub>0</sub>	3,91 Г/см <sup>3</sup>	3,16 Г/см <sup>3</sup>	2,51 Г/см <sup>3</sup>
Модуль Юнга, ГПа	379	423	233
Модуль сдвига, ГПа	153	183	197
$\gamma$ , ГПа	3,76	5,9	2,33
T <sub>p</sub> , ГПа	0,16	0,16	0,16
A	0,98	0,96	0,987
B	0,35	0,35	0,5
C	0	0	0,027
M	1	1	1
N	0,39	0,65	0,77
D <sub>1</sub>	0,007	0,0048	0,1
D <sub>2</sub>	1,24	0,48	1
g	1,4	0,48	0,15
e <sub>пп</sub> <sup>p</sup> (p=0), %	0,1	0,1	0,1

**Результаты исследования.** Расчетная схема процесса ударного деформирования пластин полусферическим ударником, созданная в CAD – системе. На рис. 1 представлена конечно-элементная трехмерная модель.

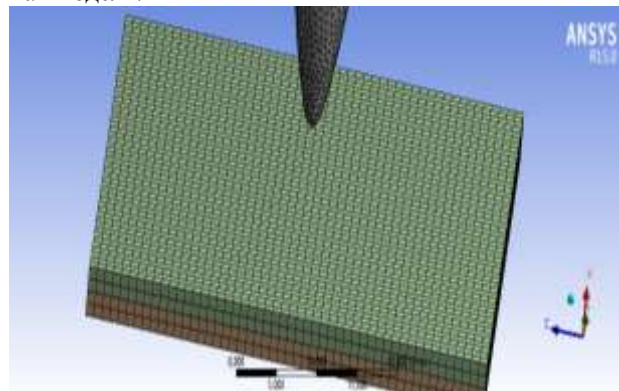


Рис. 1 – Расчётная схема

В каждом конкретном случае назначалась адекватная расчетная сетка, обеспечивающая сходимость решения. Конечно-элементная модель состоит из 2000-50000 параллелепипедов и гексаэдральных элементов. Модель материалов вносилась в базу данных ANSYS представляя собой таблично заданные параметры характеризующие данный материал (таб. 2). Для хрупких материалов задавались коэффициенты Johnson-Holmquista [2] приведенный в таблица 1.

Таблица 2 – Исходные данные материала

	Aluminum	Titanium	BK8	Steel
Плотность (кг/м <sup>3</sup> )	2770	4620	14870	7850
Модуль Юнга (Pa)	7,1 E+10	9,6E+10	5E+11	2E+11
Коэффициент Пуассона	0,33	0,36	0,2	0,3
Модуль объемной упругости (Pa)	6,96 E+11	1,14E+11	3,32E+11	1,66E+11
Модуль сдвига (Pa)	2,66 E+10	3,5E+10	2,49E+11	7,69E+10

Поиск области существования оптимальных деформации многослойных пластин осуществляли с помощью многочисленных экспериментов с изменением толщины пластин(мм), сравнивая их с поведением одинарных пластин. На рисунках 2, 3 представлены полученные зависимости величины запреградного прогиба от толщины пластины титана и алюминия. Пробитие титановой пластины происходит при толщине 2,5мм и меньше. Тыльный прогиб пластин в промежутке её толщины от 3 до 5 мм считаем опти-

мальным. Пробитие алюминиевой пластины происходит при толщине 7мм и меньше. Тыльный прогиб пластины в промежутке её толщины от 8 до 10 мм считаем оптимальным.

На рисунке 3 представлены зависимости полученные при моделировании деформации многослойных пакетов при разных толщинах. Результаты моделирования показывают что ударная прочность изделий из чистого листового материала меньше чем многослойных пакетов с аналогичными параметрами.

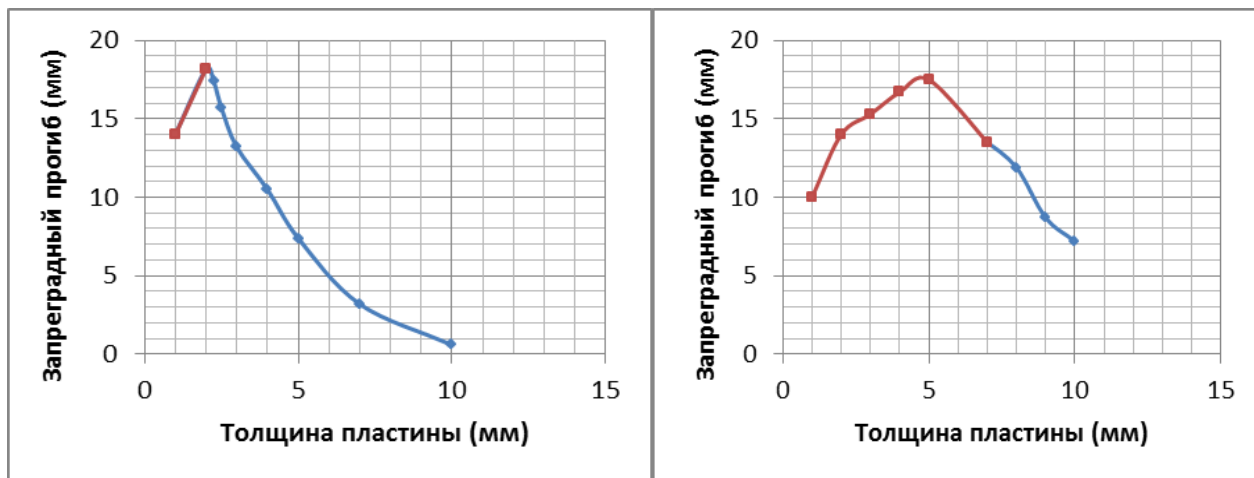


Рис. 2 – Зависимость величины прогиба от толщины пластины: а – титана; б – алюминия

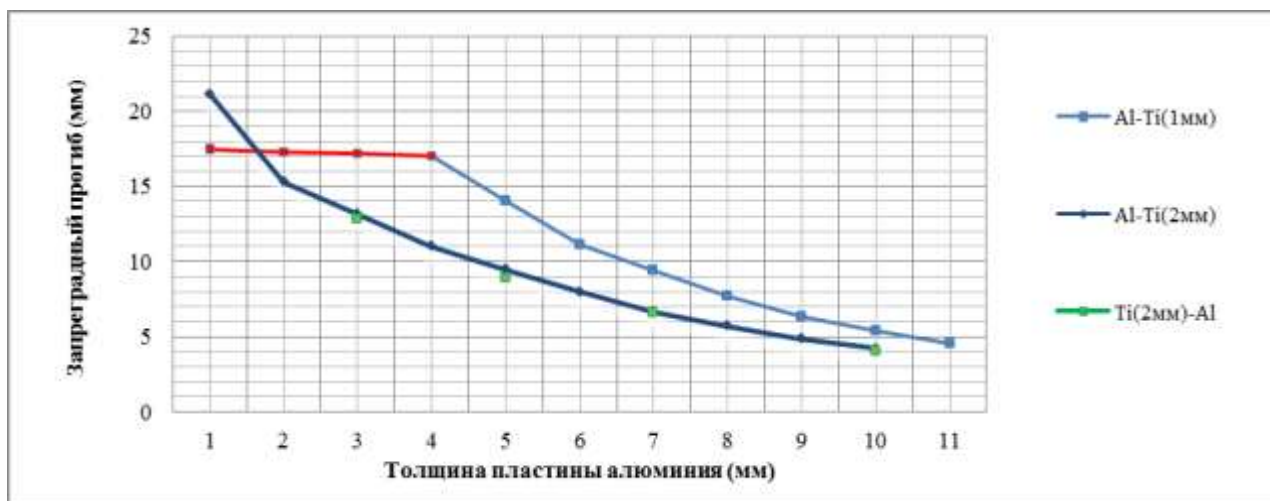


Рис. 3 – Зависимость величин прогиба многослойных пластин

На рисунке 4 представлены результаты моделирования разрушения многослойной панели керамика/титан, с внешним керамическим слоем. В первом случае толщиной титана была 2мм, керамики 1мм,

ударник разрушил керамику и деформировал подложку. Во втором случае толщина титана была 5мм, керамики 5мм, ударник деформировался при столкновении и не пробил пластины. На рисунке 5 представ-

лены результат моделирования разрушения многослойных панелей алюминий/керамика/титан. На рисунке 5 а. толщина титана 2мм, керамики 2мм, алюминия 2мм, ударник не пробивает пластины, а слой алюминия сдерживает разрушенную керамику. На

рисунке 5 б. толщина титана 10мм, керамики 2мм, алюминия 2мм, ударник не пробивает пластины, разрушает керамический и алюминиевые слои, ударник деформируется и останавливается.

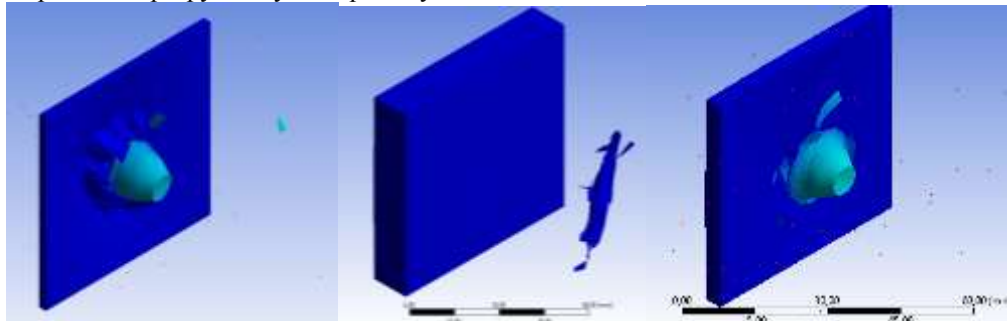


Рис. – 4 Разрушения пластины титана с внешним керамическим слоем

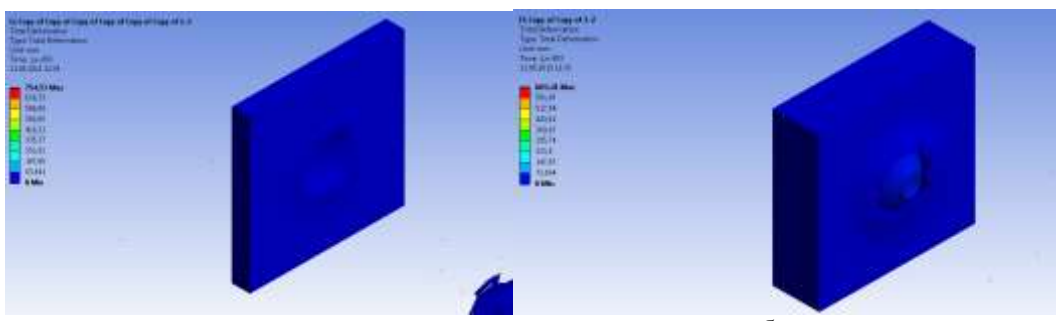


Рис. – 5 Разрушения пластины Al - B<sub>4</sub>C- Ti

**Выводы.** Установлено соотношение толщин лицевых и тыльных пластин в комбинированных многослойных преградах, обеспечивающее снижение проникающей способности ударника. Получены зависимости деформирования и разрушения пластин при вариации толщин лицевого и тыльного слоев преграды, а также материала этих пластин, смоделирована динамика процесса внедрения и разрушения ударника. Получены величины прогиба пакетов при варьировании их толщины.

Применение керамики значительно увеличивает ударную прочность многослойных пластин. А применение керамики как промежуточного слоя повышает живучесть этих пластин и как следствие деталей машин.

**Список литературы:** 1. Добротворский С.С. Повышение конкурентоспособности отечественного машиностроительного производства в современных условиях // С.С. Добротворский, Е.В. Басова, Л.Г. Добровольская, А.К. Мялица // Сборник научных трудов "Вестник

НТУ "ХПИ" : Технологии в машиностроении. Х.: НТУ «ХПИ», 2014. – Вип.42. – С. 25-31. 2. Johnson G.R., Holmquist T.J. An Improved Computation Constitutive Model for Brittle Material // *High Pressure Science and Technology*. – NY: AIP Press, 1994. 3. Ravid M., Bodner P.R., Chochron I.P. Penetration analysis of ceramic armor with composite material backing // *Proceedings of the Nineteenth International Symposium on BallisticP*. – Interlaken, SwitzerLand,2001.

**Bibliography (transliterated):** 1. Dobrotvorskij P.P., Basova E.V., Dobrovolskaja L.G., Mjalica A.K. Povyshenie konkurentosposobnosti otechestvennogo mashinostroitel'nogo proizvodstva v sovremennyh uslovijah. Kharkov: NTU «KhPI», 2014. Print. 2. Dragobetskiy V.V. Sovershenstvovaniye svoystv instrumental'nykh materialov metodami vzryvnoj obrabotki / Dragobetskiy V.V. Pirogov V.V. Naumova Ye.A.// Visnik SevNTU. ViP. 107: Mashinoprikladobuduvannya ta transport: zb. nauk. pr. – Sevastopol: Vid-vo SevNTU, 2010. 3. Petrov E.V. Vozdeystviye na stali potoka tugoplavikh chastits, Razognanniykh energiyey vzryva: avtorefarat ... kandidata tekhnicheskikh nauk: 02.02.11 / Petrov Yevgeniy Vladimirovich.– Chernogolovka, 2011.– 21 p.

Поступила (received) 05.10.2015

**Добротворский Сергей Семенович** – док. техн. наук, проф., НТУ «ХПИ», тел.: (057)-720-66-25, e-mail: [sdobro@mail.ru](mailto:sdobro@mail.ru);

**Dobrotvorskyyi Serhei Semenovich** – Doctor of Technical Sciences, , Full Professor, National Technical University «Kharkiv Polytechnic Institute», tel.: (057)-720-66-25, e-mail: [sdobro@mail.ru](mailto:sdobro@mail.ru);

**Гнучих Сергій Сергеевич** – аспирант НТУ «ХПИ» тел.: (057)-720-66-25 e-mail: [gny4ix@mail.ru](mailto:gny4ix@mail.ru);

**Інчукъх Serhei Serheevych** – graduate student, National Technical University «Kharkiv Polytechnic Institute», tel.: (057)-720-66-25, e-mail: [gny4ix@mail.ru](mailto:gny4ix@mail.ru);

**Добровольская Людмила Георгиевна** –канд. техн. наук, доцент НТУ «ХПИ» тел.: (057)-720-66-25;

**Dobrovolskaia Liudmyla Heorhyevna** – Candidate of Technical Sciences, Docent, National Technical University «Kharkiv Polytechnic Institute», tel.: (057)-720-66-25.